



Tematy prac dyplomowych 2019/2020

prof. dr hab. inż. Łukasz Madej B-5, VII p., pok. 716

dr inż. Konrad Perzyński B-5, VII p., pok. 704

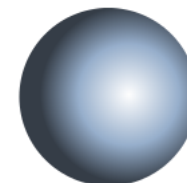
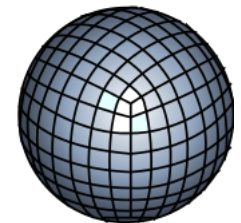
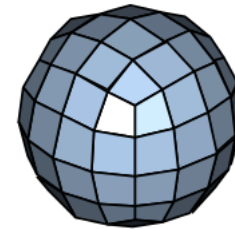
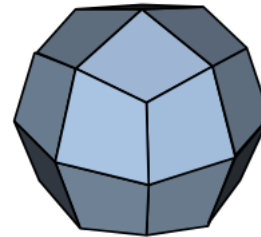
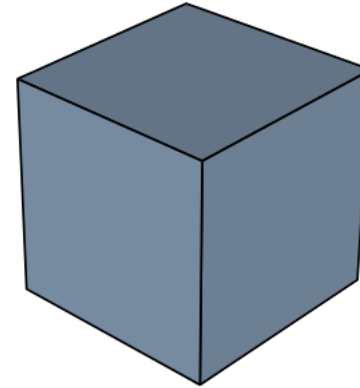
dr inż. Mateusz Sitko B-5, VII p., pok. 704

Pracownia Modelowania
Wielkoskalowego

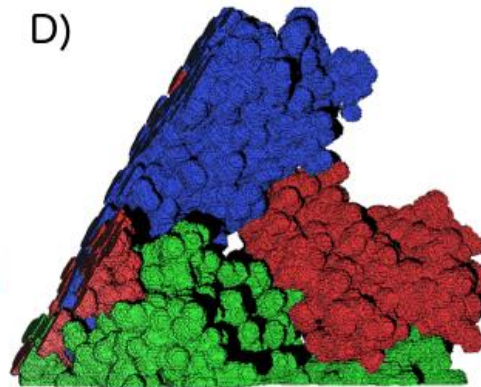
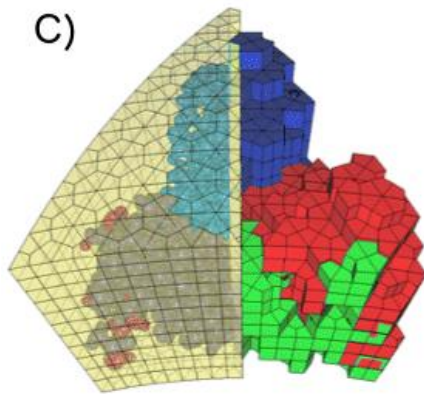
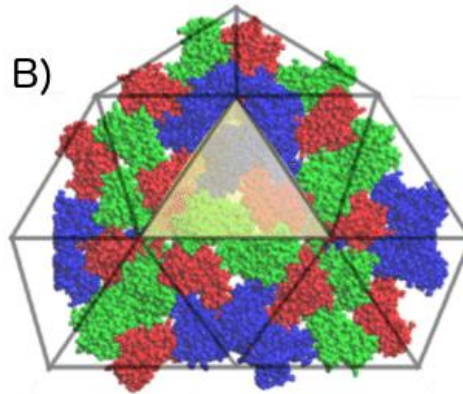
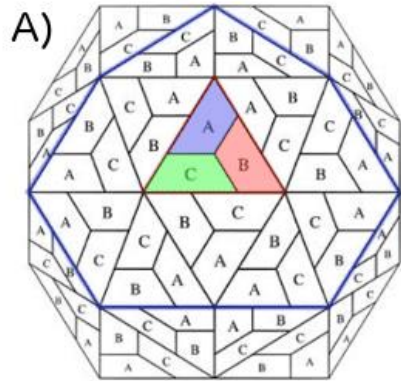
Katedra Informatyki Stosowanej i
Modelowania

Opracowanie i implementacja algorytmów do poprawy jakości dyskretyzacji powierzchni obiektów siatką np. elementów skończonych

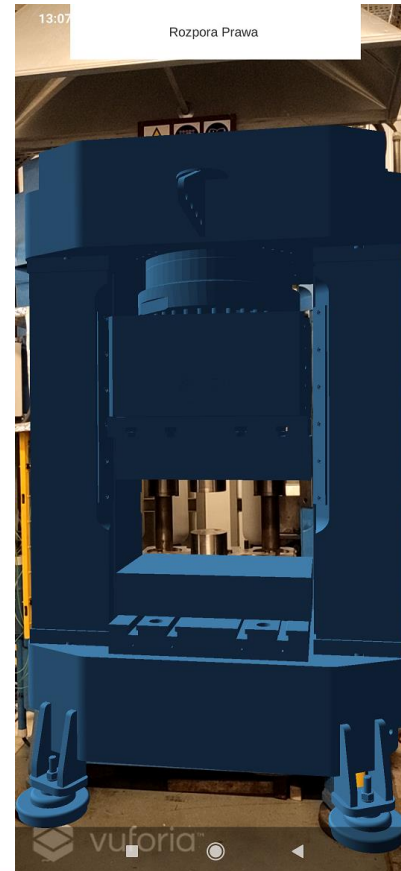
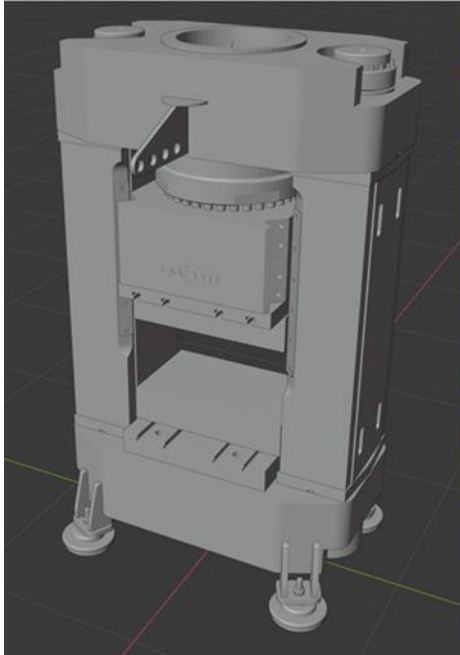
Development and implementation algorithms improving mesh discretization level of features boundaries.



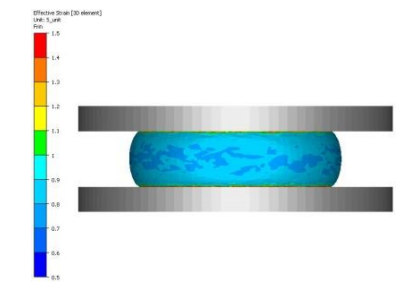
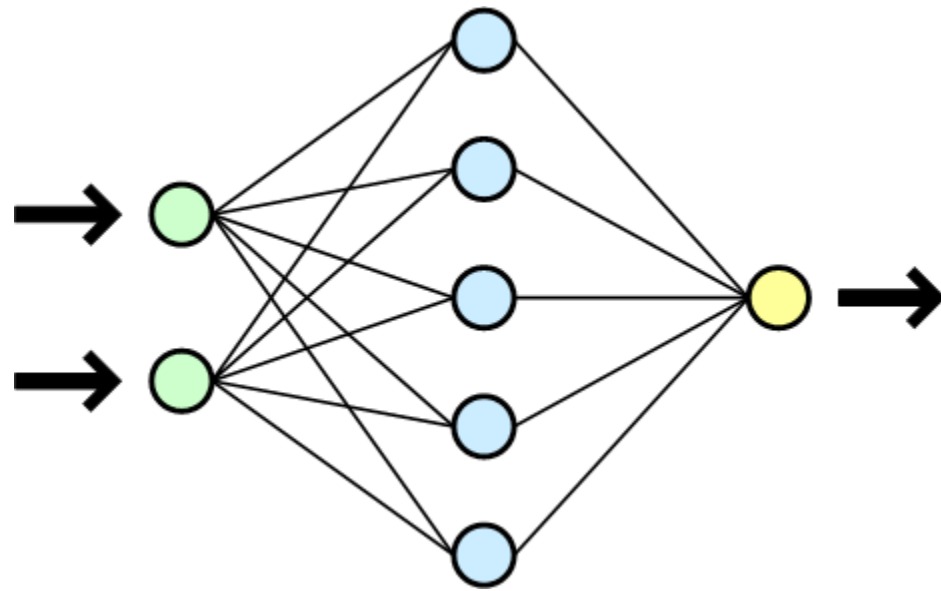
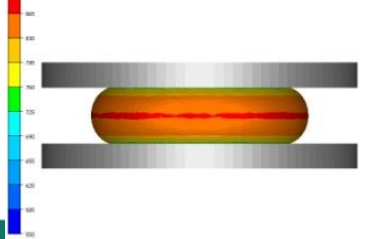
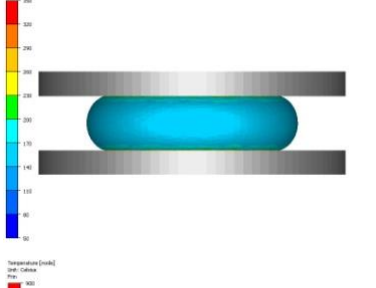
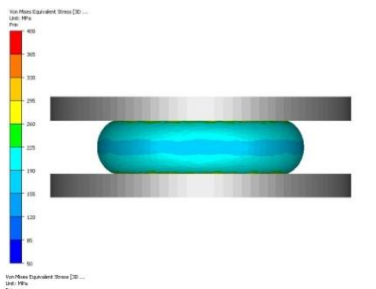
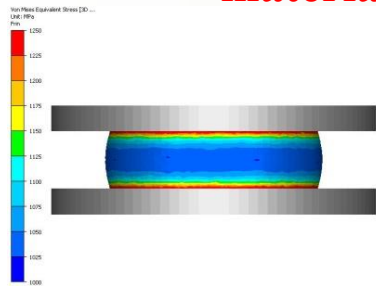
Ocena możliwości wykorzystania programu GMesh w zastosowaniu do generacji siatek dedykowanych modelom cyfrowej reprezentacji mikrostruktury.



Wykorzystanie technologii mobilnych w zagadnieniach augmented reality w celach szkoleniowych

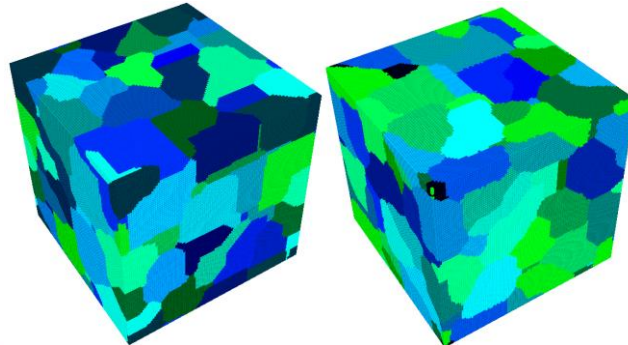
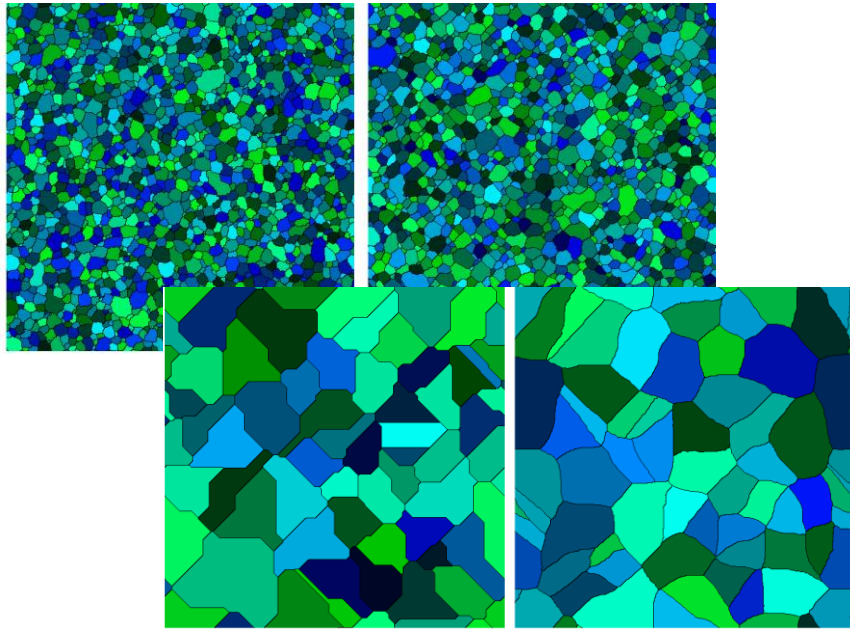


Wykorzystanie technik uczenia maszynowego do opracowania metamodelu testu odkształcenia lub modelu materiału

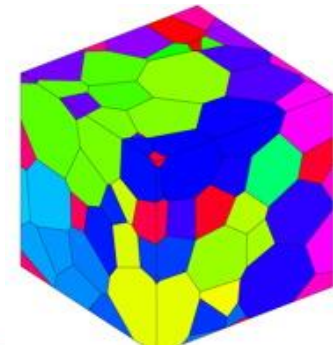
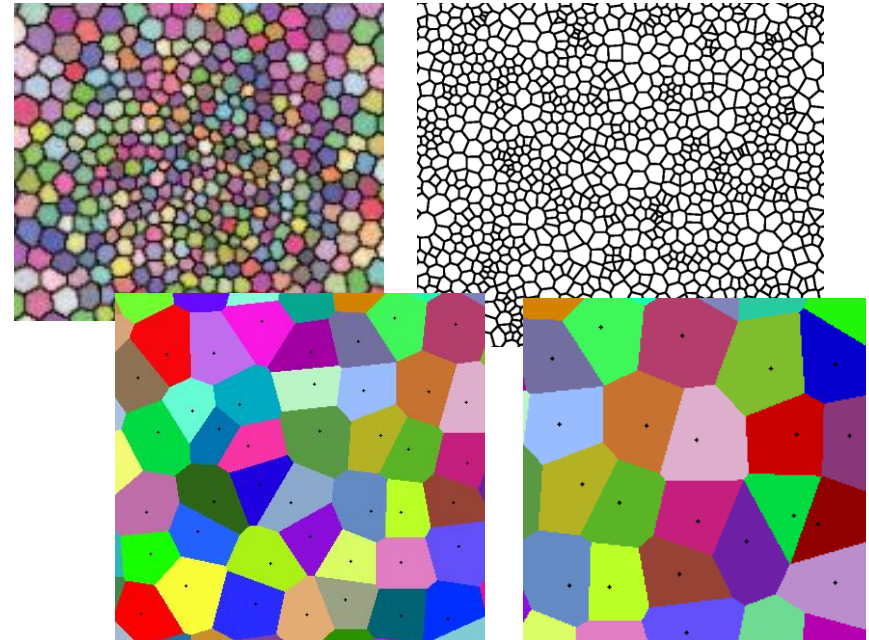


Porównanie kształtów ziaren z metody CA i Voronoi - wpływu początkowej metody generacji modelu DMR na wyniki symulacji (na bazie programu dostępnego w Pracowni MSM)

Automaty komórkowe



Voronoi





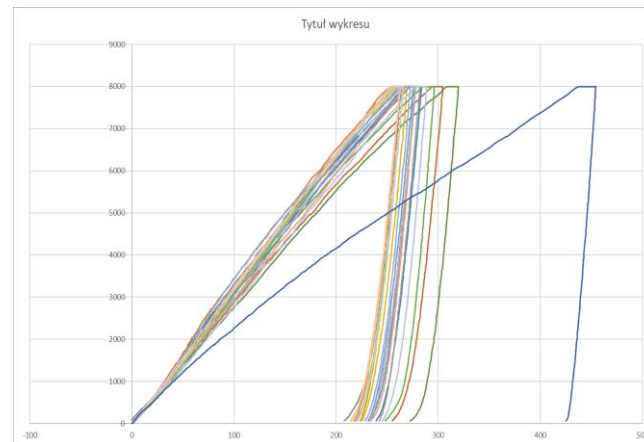
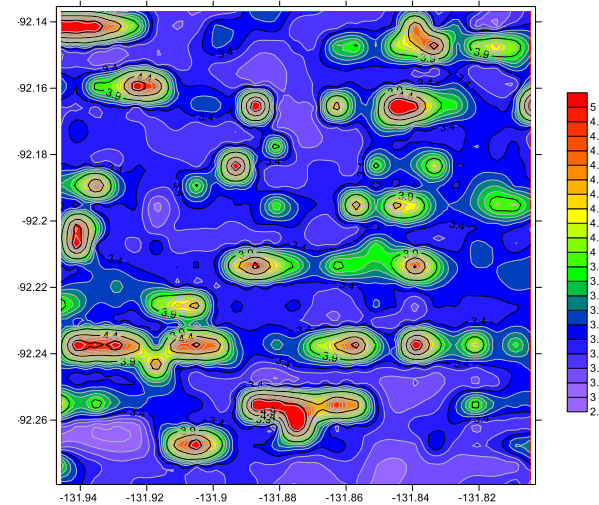
Opracowanie programu wspomagającego analizę wyników pomiarów nanotwardości (wizualizacja + wstępna analiza danych przechowywanych w plikach tekstowych)

FP_Map_all — Notatnik

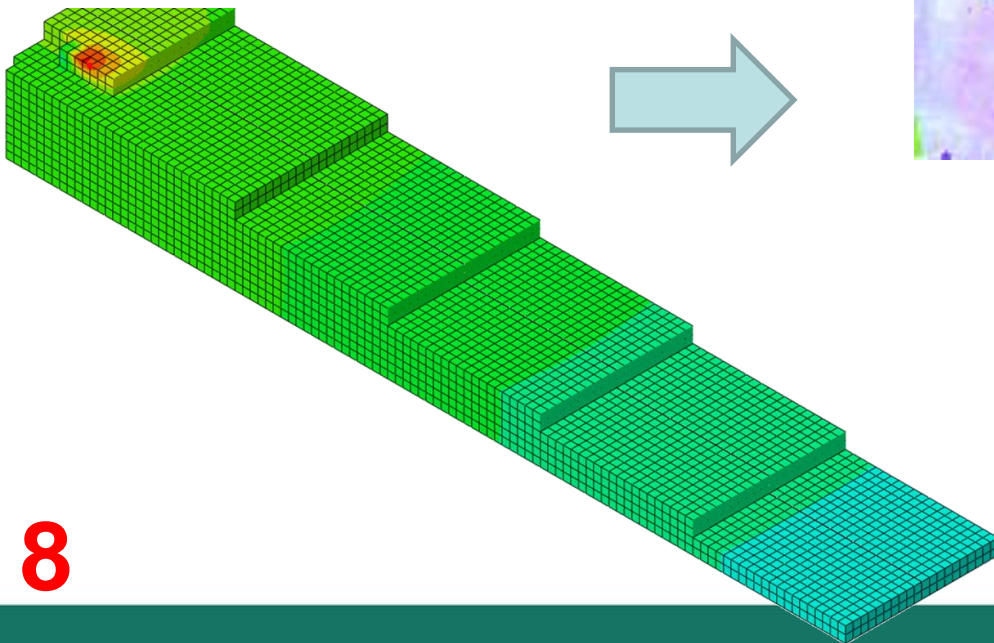
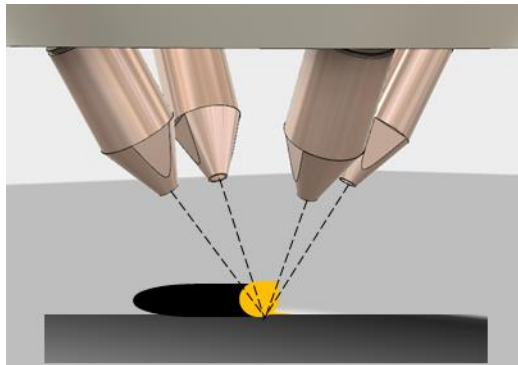
plik Edycja Format Widok Pomoc

umber of Data Points = 625

file	hc (nm)	Pmax (µN)	S (µN/nm)	A (nm ²)	hmax (nm)
P_Map_00000	LC.hys	401.412674	7997.320986	364.901879	
P_Map_00001	LC.hys	392.859376	7997.249114	334.603493	
P_Map_00002	LC.hys	421.752754	7996.974870	390.765932	
P_Map_00003	LC.hys	416.161111	7997.363844	392.023968	
P_Map_00004	LC.hys	410.495679	7997.137110	348.810582	
P_Map_00005	LC.hys	405.272080	7997.155265	385.946964	
P_Map_00006	LC.hys	400.256168	7997.115638	380.392869	
P_Map_00007	LC.hys	417.498673	7997.167576	354.967131	
P_Map_00008	LC.hys	416.599960	7997.009265	385.375051	
P_Map_00009	LC.hys	404.532045	7997.218477	320.130096	
P_Map_00010	LC.hys	409.868283	7997.522614	345.746833	
P_Map_00011	LC.hys	429.603612	7997.092999	361.426315	
P_Map_00012	LC.hys	425.338294	7997.237223	372.274350	
P_Map_00013	LC.hys	435.270103	7997.303501	377.899333	
P_Map_00014	LC.hys	429.106549	7996.995364	411.382715	
P_Map_00015	LC.hys	426.492948	7997.316569	349.406123	
P_Map_00016	LC.hys	448.600930	7997.187134	392.256935	
P_Map_00017	LC.hys	443.981901	7997.406667	366.184347	
P_Map_00018	LC.hys	434.217195	7997.111592	369.214656	
P_Map_00019	LC.hys	429.611311	7997.208109	353.108656	
P_Map_00020	LC.hys	428.466262	7997.477691	396.704064	
P_Map_00021	LC.hys	412.031026	7997.393779	358.140205	
P_Map_00022	LC.hys	414.555173	7997.390165	348.191588	
P_Map_00023	LC.hys	401.028518	7997.338949	336.716443	
P_Map_00024	LC.hys	442.401160	7997.164490	351.461481	
P_Map_00025	LC.hys	327.206800	7997.073722	327.961749	
P_Map_00026	LC.hys	389.120496	7997.442898	351.383784	
P_Map_00027	LC.hys	406.345434	7997.265185	341.027534	
P_Map_00028	LC.hys	421.416886	7997.074202	346.434802	
P_Map_00029	LC.hys	415.684350	7997.394319	330.905676	
P_Map_00030	LC.hys	421.224834	7997.011015	363.969307	
P_Map_00031	LC.hys	408.085660	7997.346358	360.343908	
P_Map_00032	LC.hys	409.410660	7997.121597	360.830838	
P_Map_00033	LC.hys	404.501382	7997.065695	365.708994	
P_Map_00034	LC.hys	406.636088	7996.999314	390.826819	
P_Map_00035	LC.hys	415.573892	7997.426911	332.817311	
P_Map_00036	LC.hys	413.364728	7997.330167	362.392683	
P_Map_00037	LC.hys	435.667486	7997.186640	355.138372	
P_Map_00038	LC.hys	431.765536	7997.381706	348.347858	
P_Map_00039	LC.hys	420.273265	7997.084644	351.336040	
P_Map_00040	LC.hys	417.939361	7997.221580	418.825707	
P_Map_00041	LC.hys	442.262721	7997.224572	327.503339	
P_Map_00042	LC.hys	448.534694	7997.375273	358.415823	
P_Map_00043	LC.hys	438.503078	7997.383035	363.523206	



Modelowanie stanu mikrostruktury w procesach Druku 3D (wykorzystanie komercyjnego programu MES do analizy numerycznej)





AGH

HDF5 w zastosowaniu do modeli cyfrowych mikrostruktur - rozrost ziaren CA (kontynuacja dotychczasowych prac w Pracowni MSM)

SUPPORT
The HDF Group

Home Services News Contact Us

Google Custom Search

LINKS

- Main Website
- What is HDF5?
- Online Brochure
- Downloads
- Documentation
- Software using HDF5
- HDF5 Users
- Sample HDF5 Files
- Acknowledgments
- Licenses

This web site is no longer updated (but will remain online).
Please see The HDF Group's new [Support Portal](#) for the latest information.

HOME > [HDF5](#)

WELCOME TO THE HDF5 SUPPORT PAGE!

Current Releases: [HDF5-1.8.20](#), [HDF5-1.10.1](#)

HDF5 is a data model, library, and file format for storing and managing data. It supports an unlimited variety of datatypes, and is designed for flexible and efficient I/O and for high volume and complex data. HDF5 is portable and is extensible, allowing applications to evolve in their use of HDF5. The HDF5 Technology suite includes tools and applications for managing, manipulating, viewing, and analyzing data in the HDF5 format.

Two releases of HDF5 are available for download. HDF5-1.10 can read files created with earlier releases, but earlier releases such as HDF5-1.8 may not be able to read HDF5-1.10 files.

[HDF5-1.10.1](#)
[HDF5-1.8.20](#)

- What is HDF5?
- Questions (FAQ)
- HDF5 Tutorial
- Example Programs
- HDF5 Tools and Software
- Special Features: [\[Parallel HDF5\]](#) [\[Compression\]](#)
- General Information: [\[Changes w/Each Release\]](#) [\[Known Problems\]](#) [\[All Release Files\]](#)

Download
HDF5

Download
HDF5-1.10

Download
HDFView

-- Last modified: 29 November 2017

Object Attribute Info General Object Info

Number of attributes = 1

CellArray at /DataContainers/3DData/FieldData/Discretization

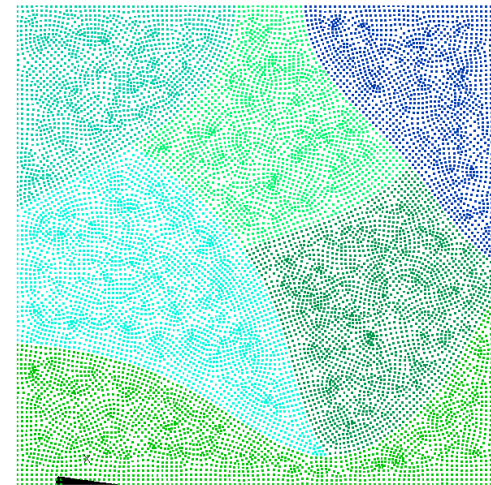
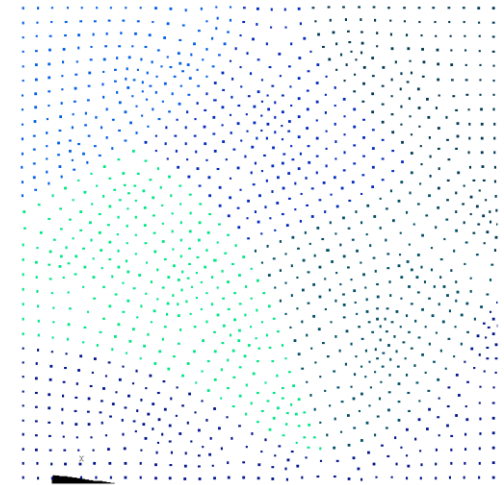
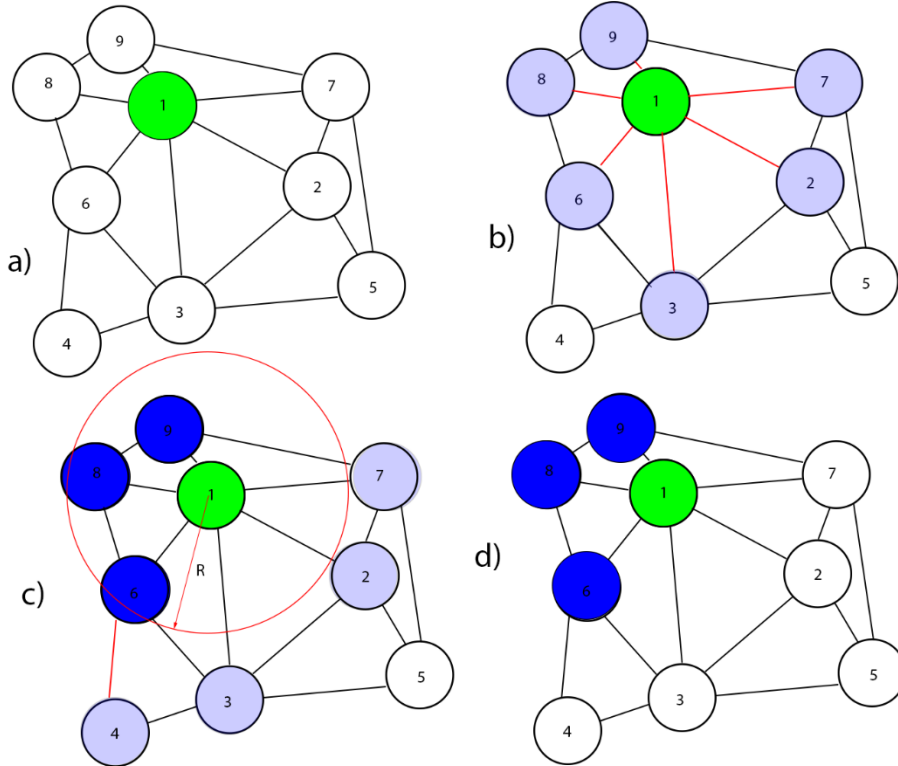
Table Import/Export Data Data Display

0-based

	0	1	2
0	0	0	0
1	0	1	0
2	0	2	0
3	0	3	0
4	0	4	0
5	0	5	0
6	0	6	0
7	0	7	0
8	0	8	0
9	0	9	0
10	0	10	0
11	0	11	0
12	0	12	0

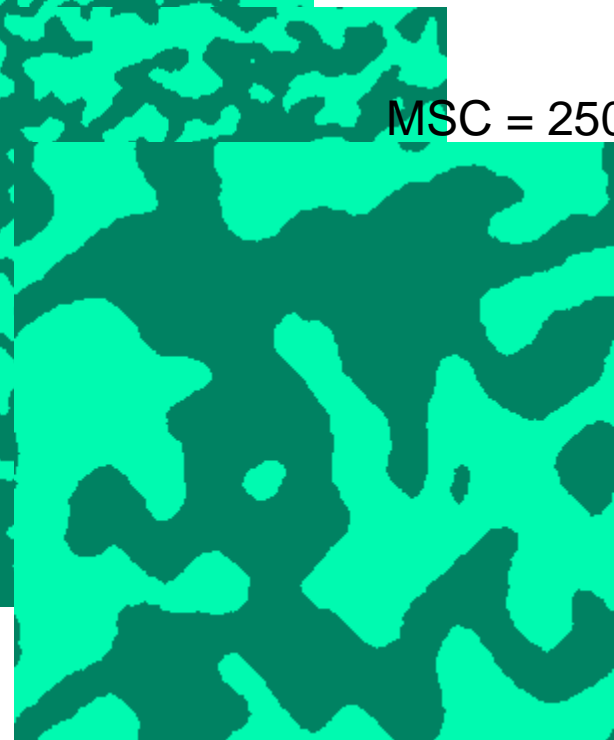
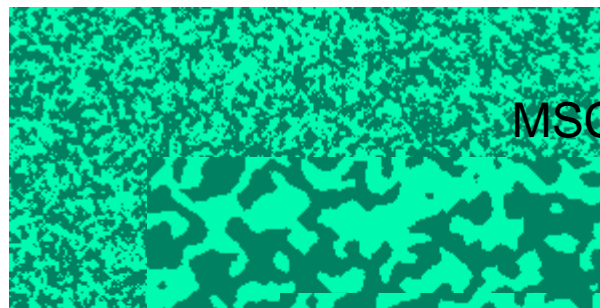
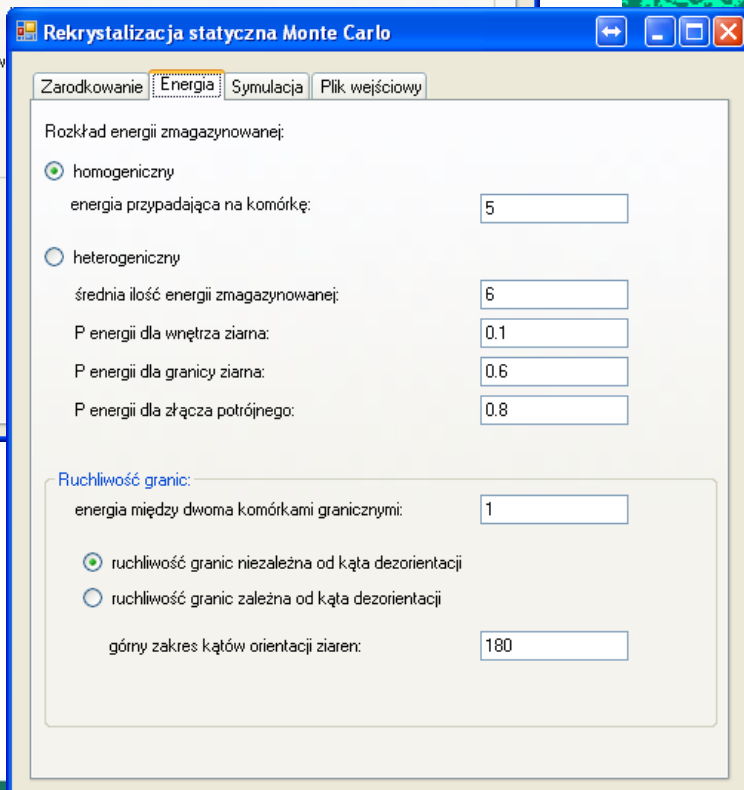
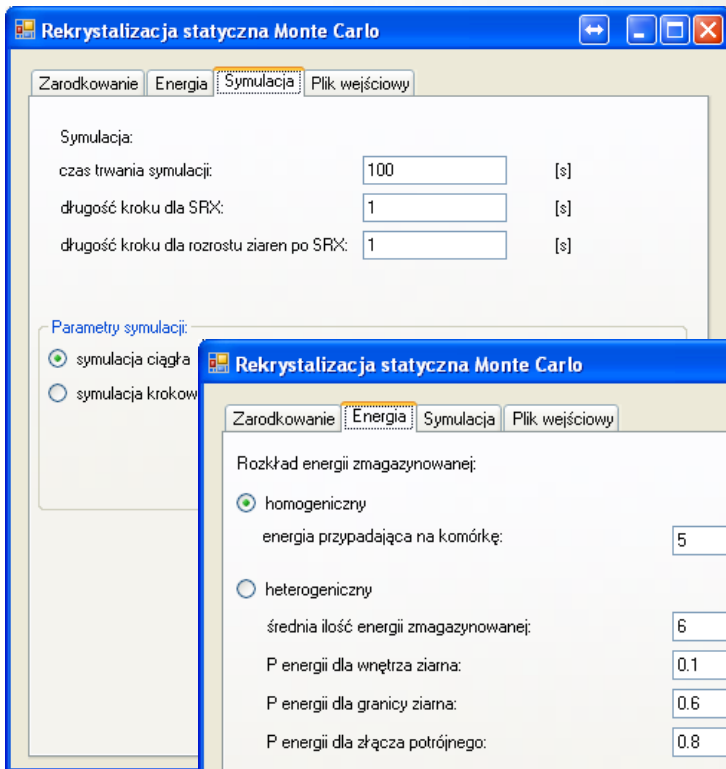


Opracowanie oraz implementacja algorytmu rozrostu ziaren z wykorzystaniem metody losowych automatów komórkowych.

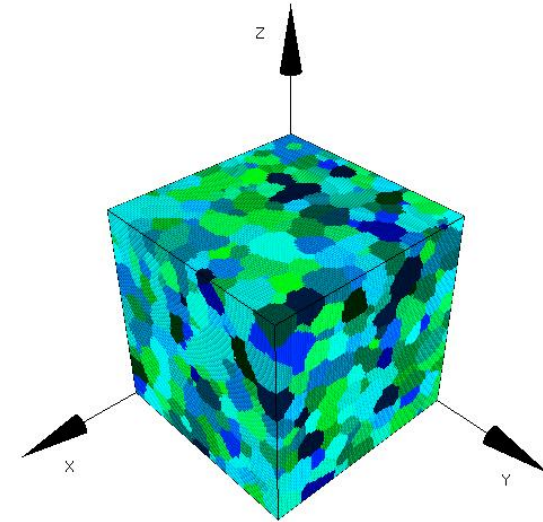
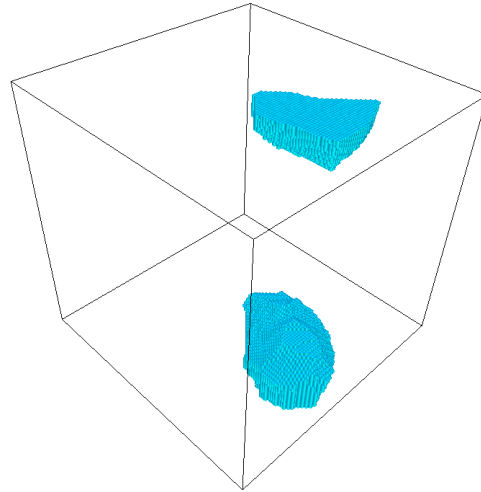
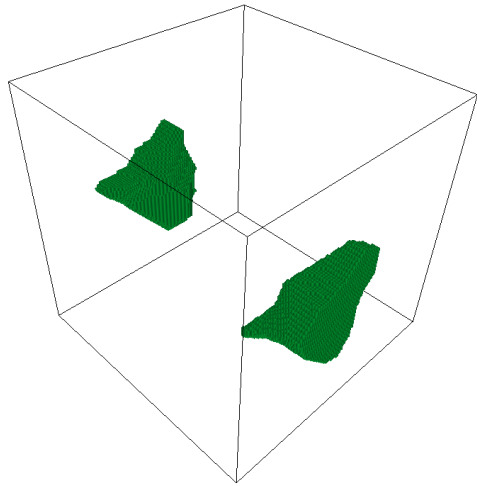


Opracowanie oraz implementacji narzędzia programistycznego do strukturyzacji danych wejściowych do obliczeń numerycznych

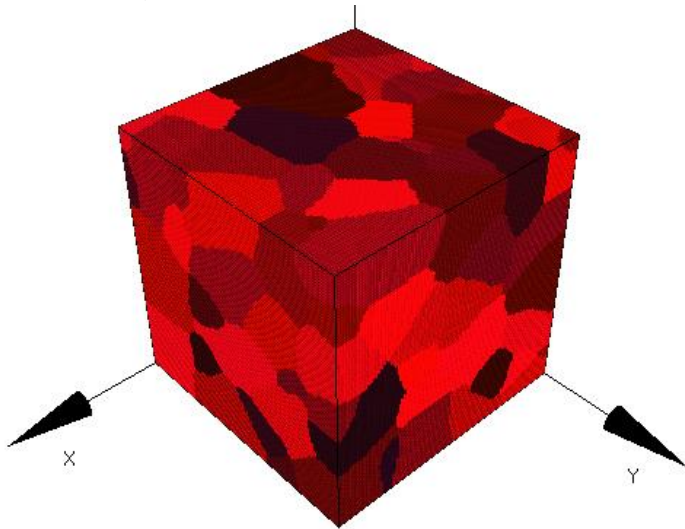
MSC = 1



Opracowanie wydajnego modułu wizualizacji wyników obliczeń metodą automatów komórkowych



4



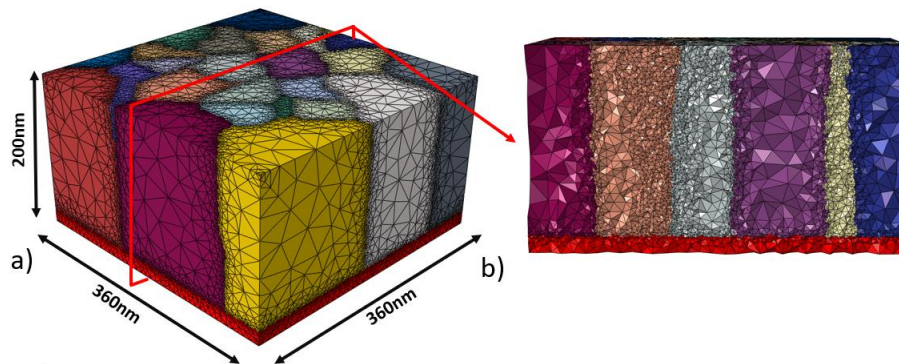
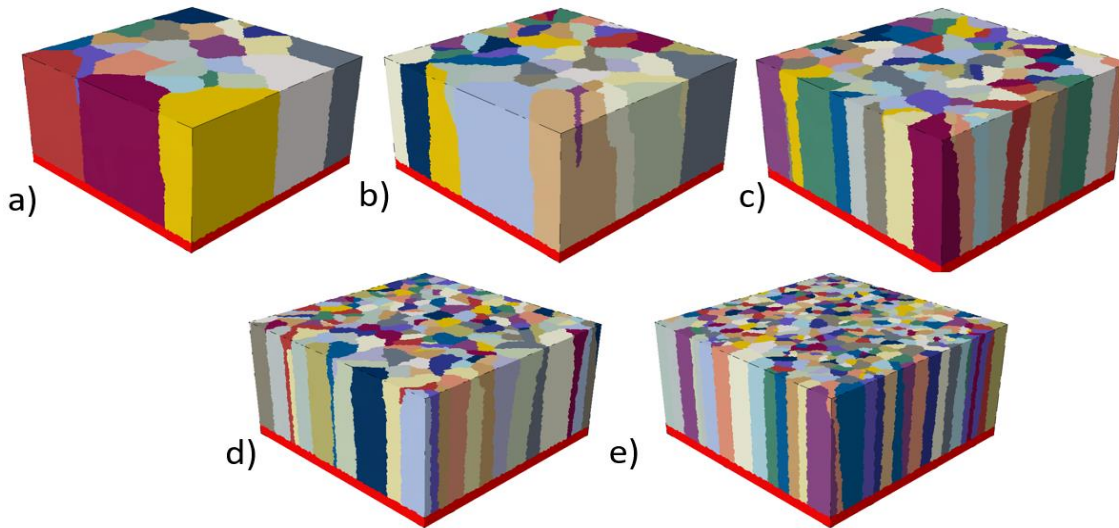
b)



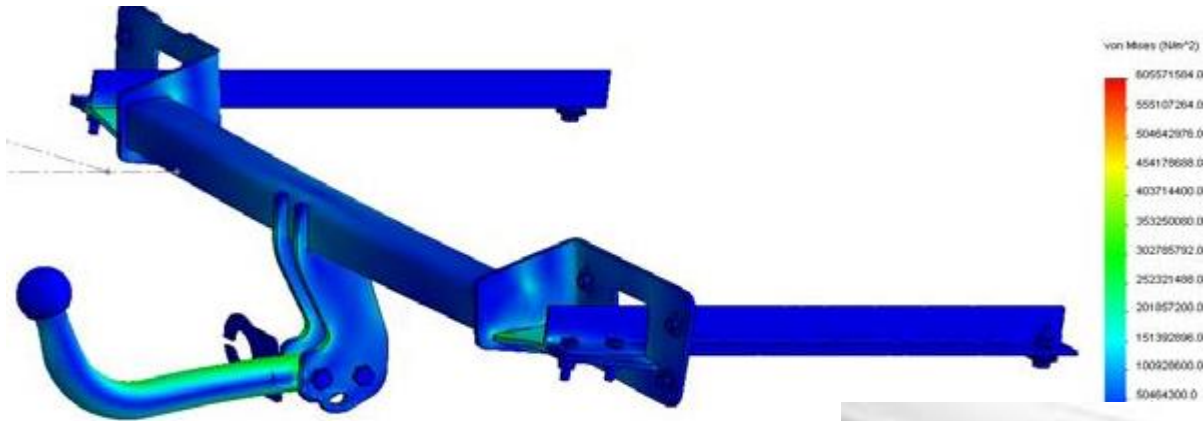
c)



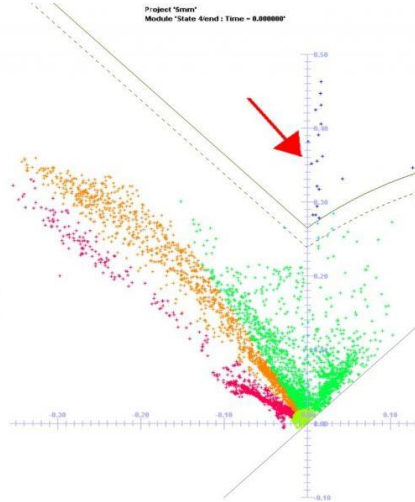
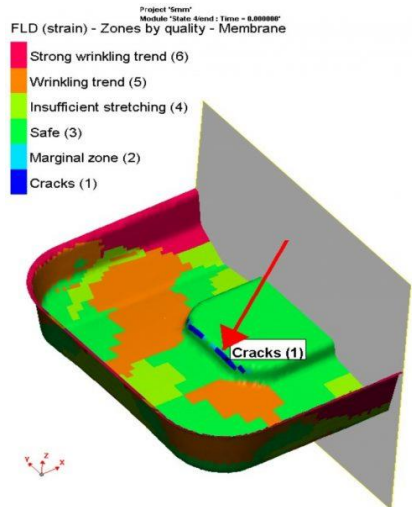
Opracowanie modelu wzrostu warstw metodą Kinetic Monte Carlo – kontynuacja prac



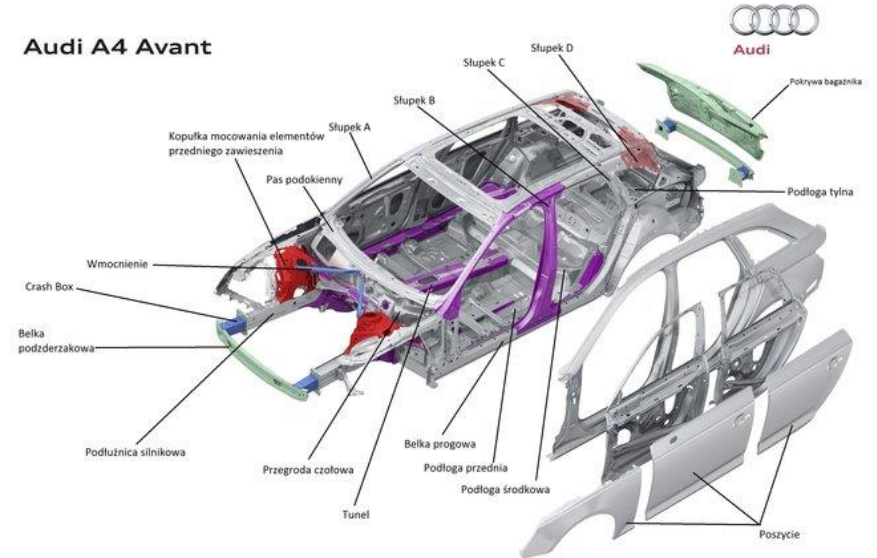
Wykorzystanie programu SolidWorks do analizy statycznej haka holowniczego



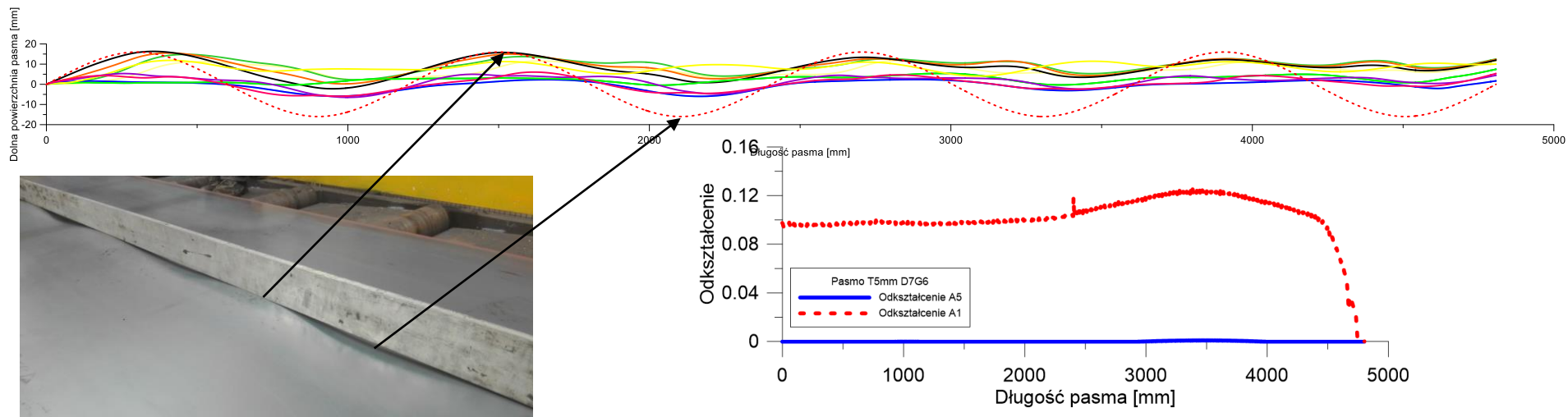
Implementacja wtyczki w języku skryptowym PYTHON do wspomagania projektowania wytrzymałości



Audi A4 Avant



Automatyzacja procesu ekstrakcji danych z obliczeń numerycznych w programie Abaqus – implementacja skryptów współpracujących z programem Abaqus i narzędziem do prezentacji wykresów.



Pasma T2mm D5 G4 4800mm

- Prostowanie układ A5
- Prostowanie układ A4
- Prostowanie układ A3
- Prostowanie układ A2
- Prostowanie układ A1
- Prostowanie układ M2
- Prostowanie układ M3
- Prostowanie układ M4
- Prostowanie układ M5
- Prostowanie układ M6
- Prostowanie układ M7
- Przed prostowaniem

